



グラフェンの水素イオン透過率測定に向けた超低速・単色・質量選択型イオンソースの開発

T. Terasawa, K. Fukutani, S. Yasuda, H. Asaoka

Development of Ultraslow, Monochromatic, and Mass-selected Ion Source Toward Measurement of Hydrogen Ion Permeability of Graphene

Vol. 20, Iss. 4, pp. 196-201 (2022) (Regular Paper)

MOSFETの電気的ストレスによる劣化を特定するための静電容量法

Z. A. Atamuratova, A. Yusupov, J. C. Chedjou, K. Kyamaka

Capacitance Method for Identifying Degradation due to Electrical Stress in MOSFETs

Vol. 20, Iss. 4, pp. 202-206 (2022) (Regular Paper)

グラフェンの触媒的化学気相成長法におけるCu薄膜パターンのモルフォロジー変化

Y. Tominari, H. Suzuki, S. Tanaka

Morphological Changes in Cu Film Patterns Used in the Catalytic Chemical Vapor Deposition of Graphene

Vol. 20, Iss. 4, pp. 207-213 (2022) (Regular Paper)

マイクロパターン化されたSi(110)上に3次元的に構築されたSi{111}7×7ファセット表面へのARPESのアクセシビリティ

K. Hattori, Y. Sakai, L. N. Pamasi, A. Irmikimov, T. Higashi, et al.

Accessibility of ARPES for Three-dimensionally Architected Si{111}7×7 Facet Surfaces on Micro-patterned Si(110)

Vol. 20, Iss. 4, pp. 214-220 (2022) (Regular Paper)

正方格子でシミュレーションした逆磁化からの回復過程

T. Senoo, T. Sumi, M. Horio, A. Tsukamoto, I. Matsuda

Recovery Process from the Reversed Magnetization Simulated with a Square Lattice

Vol. 20, Iss. 4, pp. 221-225 (2022) (Regular Paper)

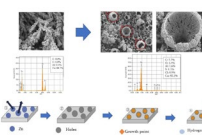
アンモニアボランの軟X線吸収・発光分光と原子状水素の照射効果

M. Niibe, Y. Haruyama, A. Heya, S. Ito

Soft X-ray Absorption/Emission Spectroscopy and Atomic Hydrogen Irradiation Effect of Ammonia Borane

Vol. 20, Iss. 4, pp. 226-231 (2022) (Regular Paper)

電解メッキ法によるZn-Al基板上へのCuデンドライト結晶球の形成

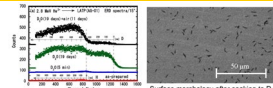


H. Tanabe, Y. Shegemori, K. Niwa, K. Iwai, S. Yamashita, S. Kamei, et al.

Cu Dendrite Crystal Ball Formation on a Zn-Al Substrate by Electro-plating Method

Vol. 20, Iss. 4, pp. 232-236 (2022) (Regular Paper)

リチウムイオン導電性ガラスセラミックスの表面近傍における室温での吸水による水素吸蔵特性

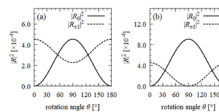


T. Kodera, B. Tsuchiya, R. Kato, T. Usami, K. Takahiro

Hydrogen Absorption in Near Surface of Lithium-ion Conductive Glass Ceramics by Water Uptake at Room Temperature

Vol. 20, Iss. 4, pp. 237-242 (2022) (Regular Paper)

多原子共鳴X線ラマン散乱の角度依存性

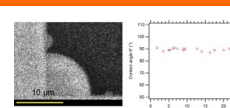


J. Kogo, R. Sato, K. Niki, K. Asakura

Angular Dependence of Multi-atom Resonant X-ray Raman Scattering

Vol. 20, Iss. 4, pp. 243-247 (2022) (Proceeding Paper)

走査型電子顕微鏡によるその場形成マイクロ・ナノバブルの断面観察



K. Takahara, S. Suzuki

Cross-sectional Observation of Micro- and Nanobubbles Formed In-situ in a Scanning Electron Microscope

Vol. 20, Iss. 4, pp. 248-251 (2022) (Proceeding Paper)

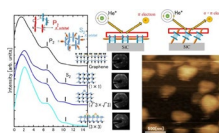
多重散乱理論に基づく光電子強度計算の高速化法

M. Haniuda, M. Nozaki, K. Niki

A Faster Method of Photoelectron Intensity Calculation Based on Multiple Scattering Theory

Vol. 20, Iss. 4, pp. 252-256 (2022) (Proceeding Paper)

SiC再構成表面に吸着したメタルフリーフタロシアニンの観察

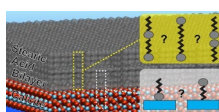


S. Emoto, A. Isobe, T. Ikari, K. Kawamura, S. Kuroki, M. Naitoh

Observation of Metal-free Phthalocyanine Adsorbed on SiC Reconstructed Surface

Vol. 20, Iss. 4, pp. 257-260 (2022) (Proceeding Paper)

方解石(104)表面へのステアリン酸の吸着に関する第一原理計算による解析



N. Machida, M. Misawa, Y. Kezuka, K. Tsuruta

First-principles Analysis of Stearic Acid Adsorption on Calcite (104) Surface

Vol. 20, Iss. 4, pp. 261-265 (2022) (Proceeding Paper)